

FIG. 13

Fig. 8

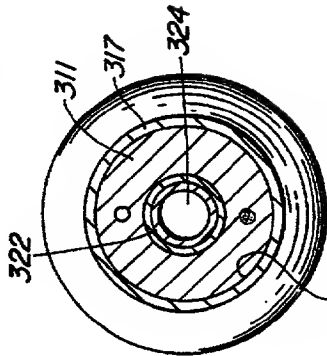
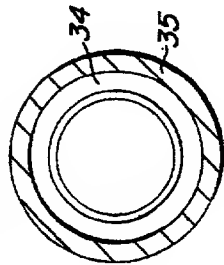


Fig. 14

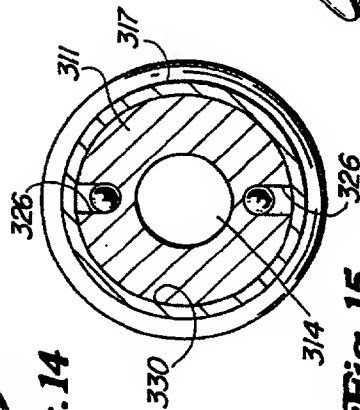


Fig. 15

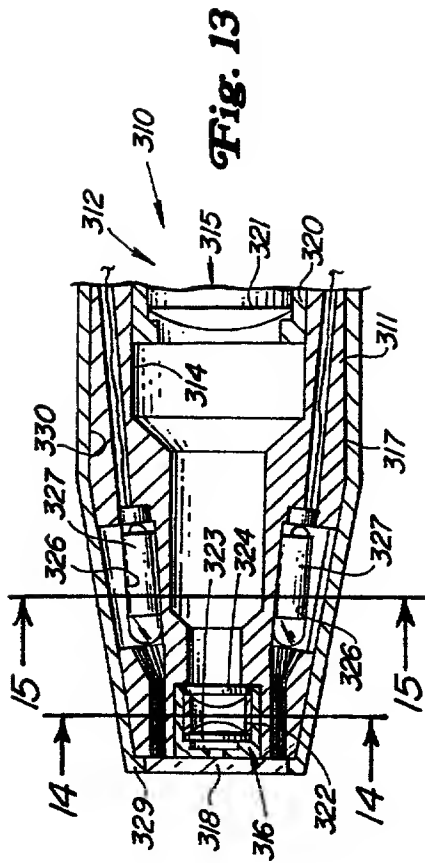


Fig. 13

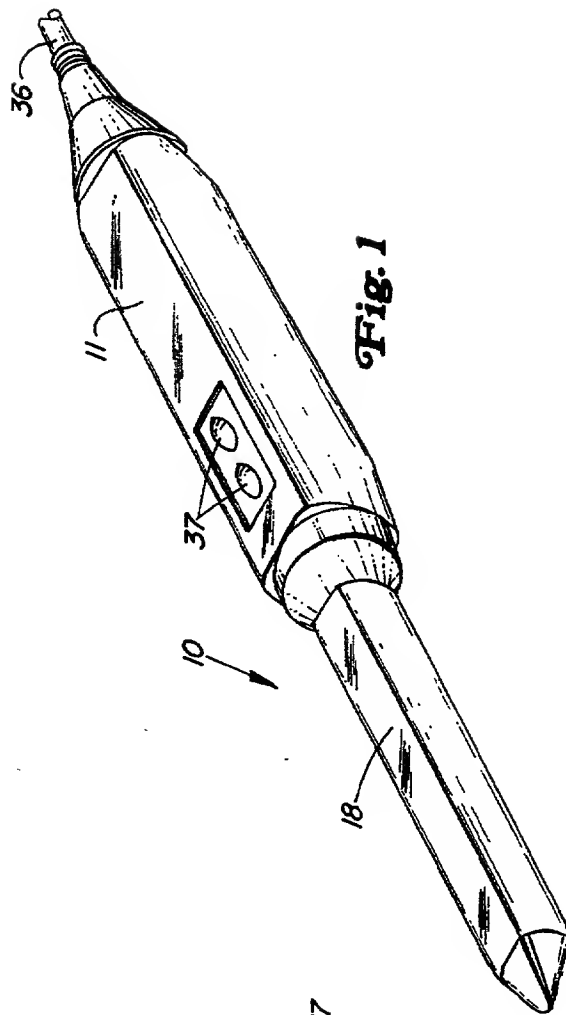


Fig. 1

FIG. 2

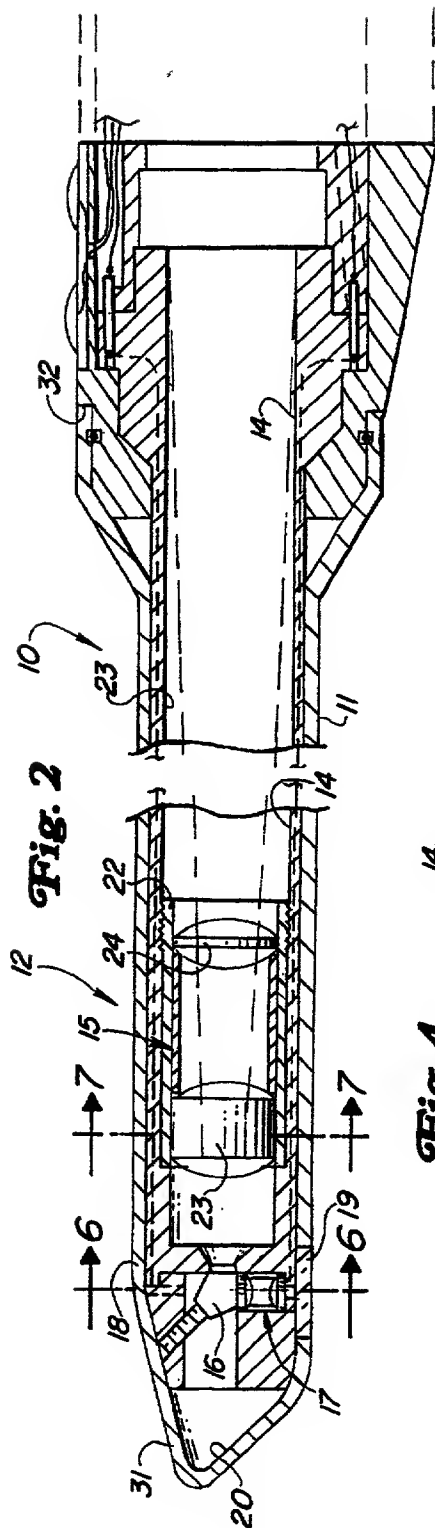


Fig. 4

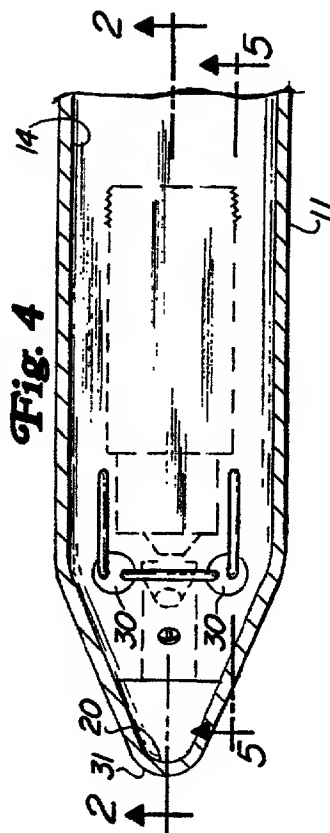


Fig. 5

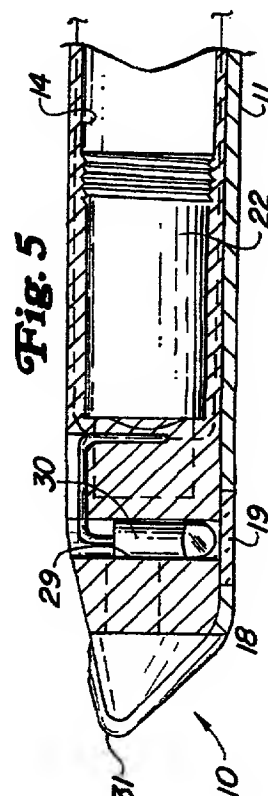
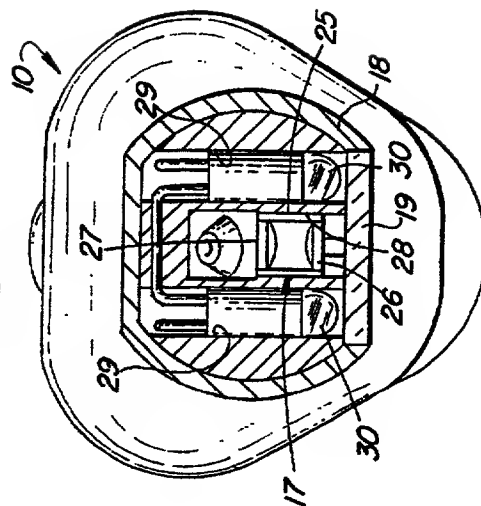


Fig. 6



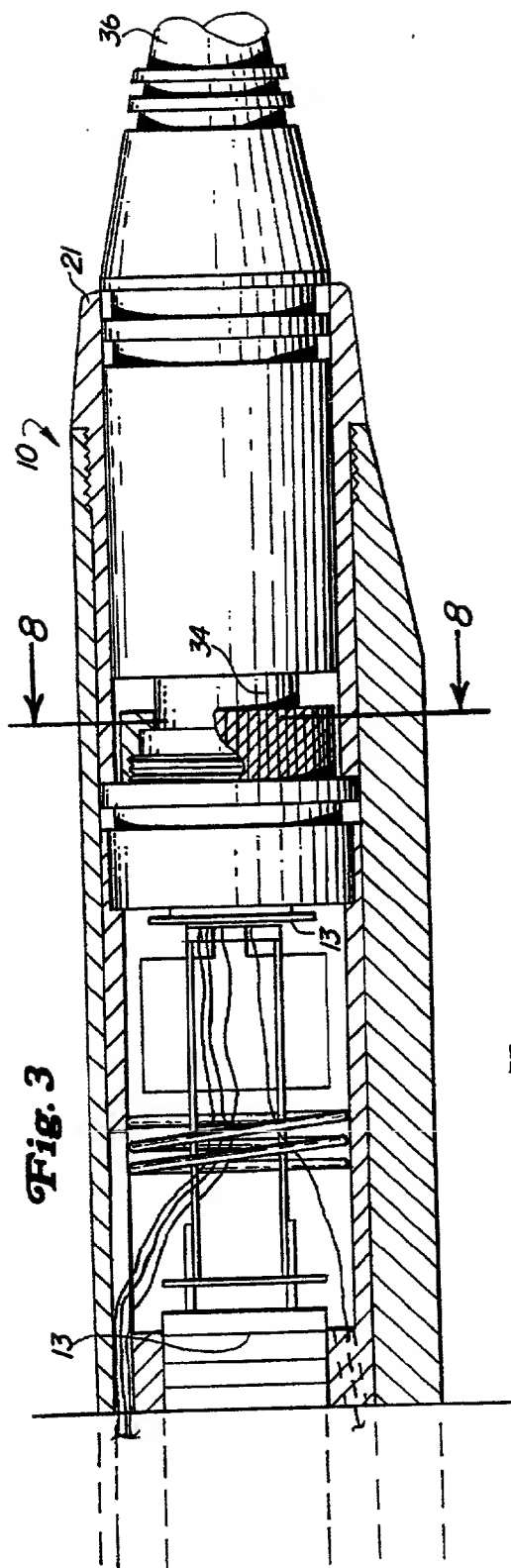


Fig. 3

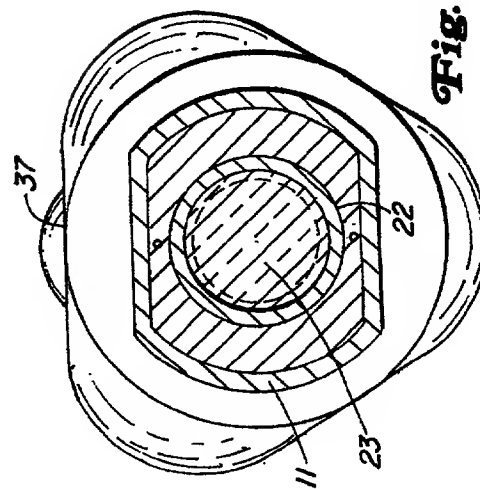


Fig. 7

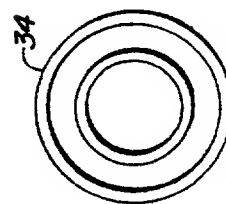


Fig. 10

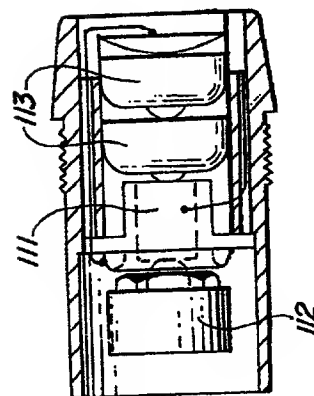
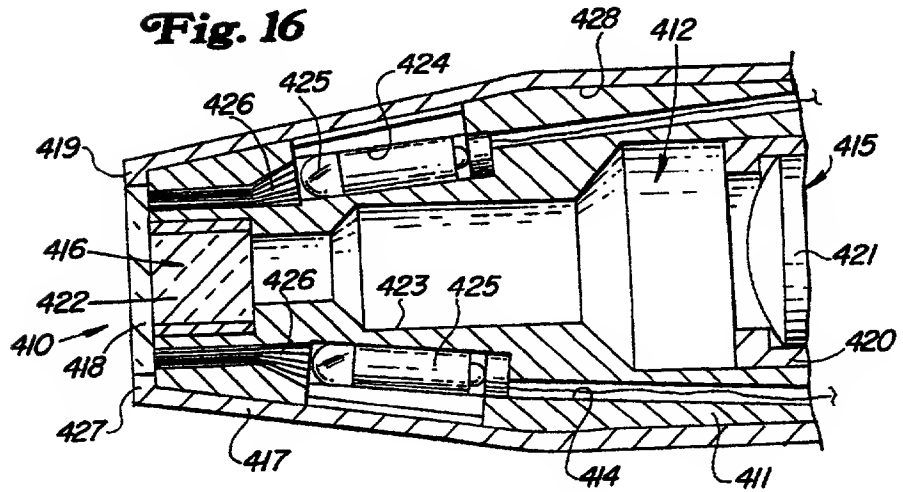
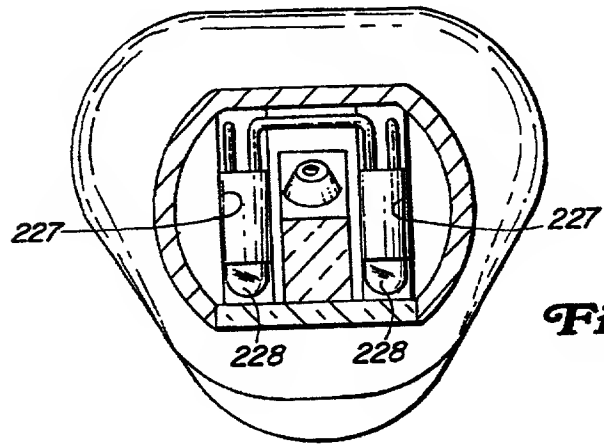
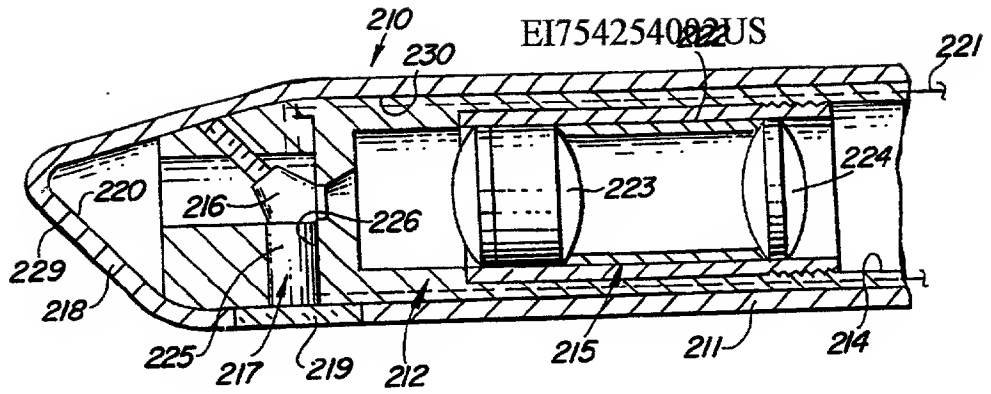
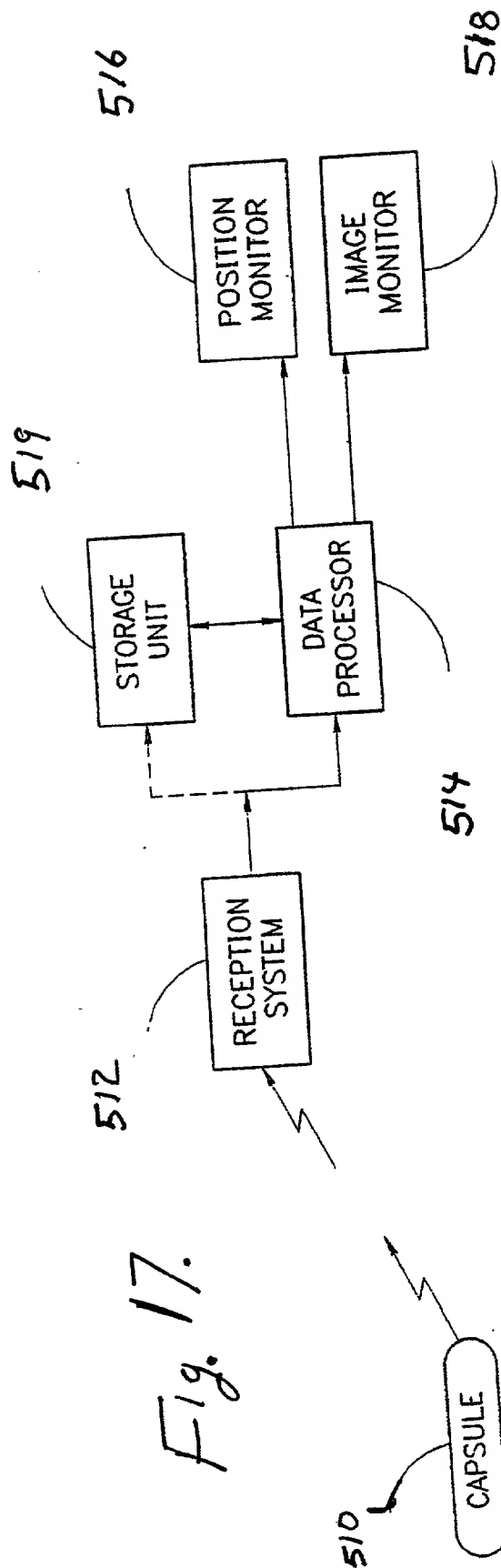


Fig. 9

EI754254002US





EI754254002US

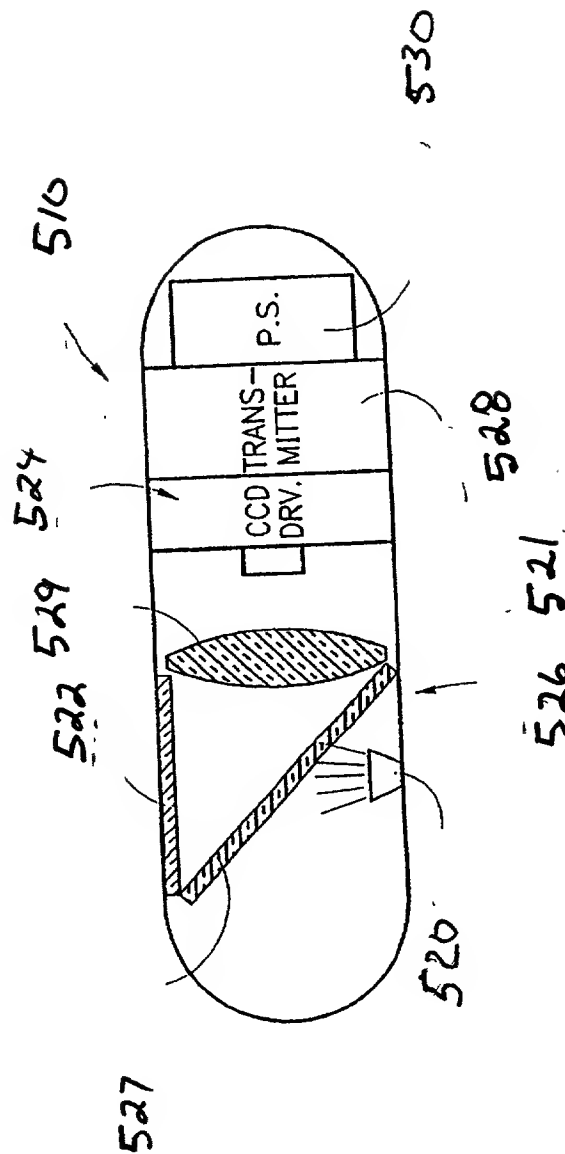


Fig. 18.

Fig. 19.

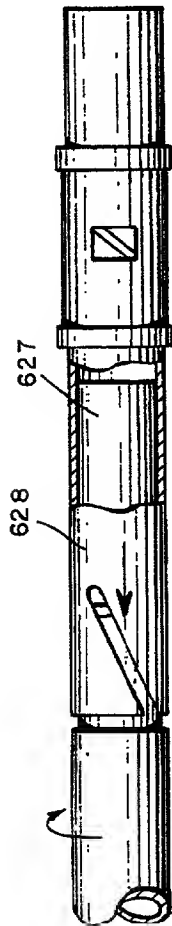
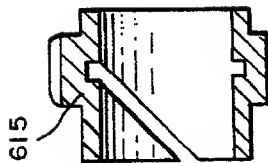
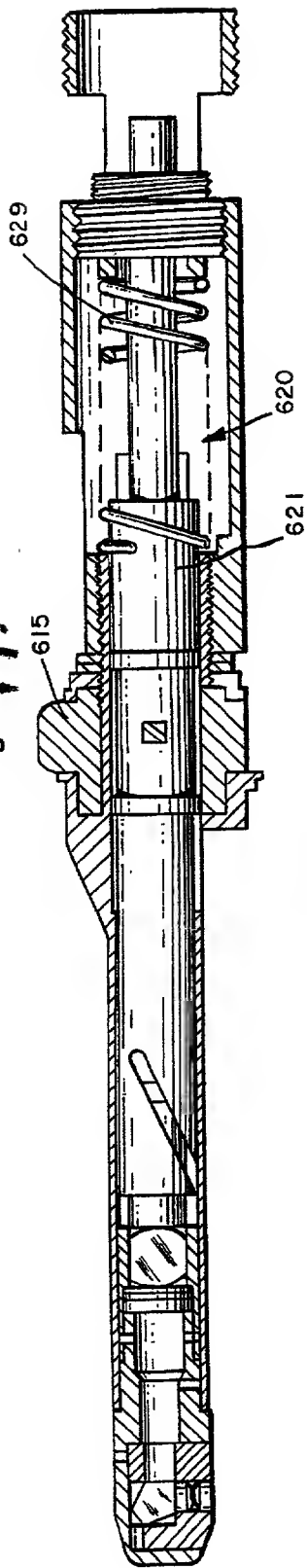


Fig. 21.

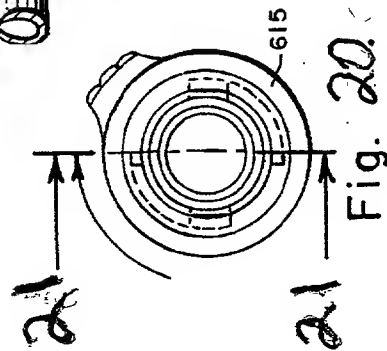


Fig. 20.

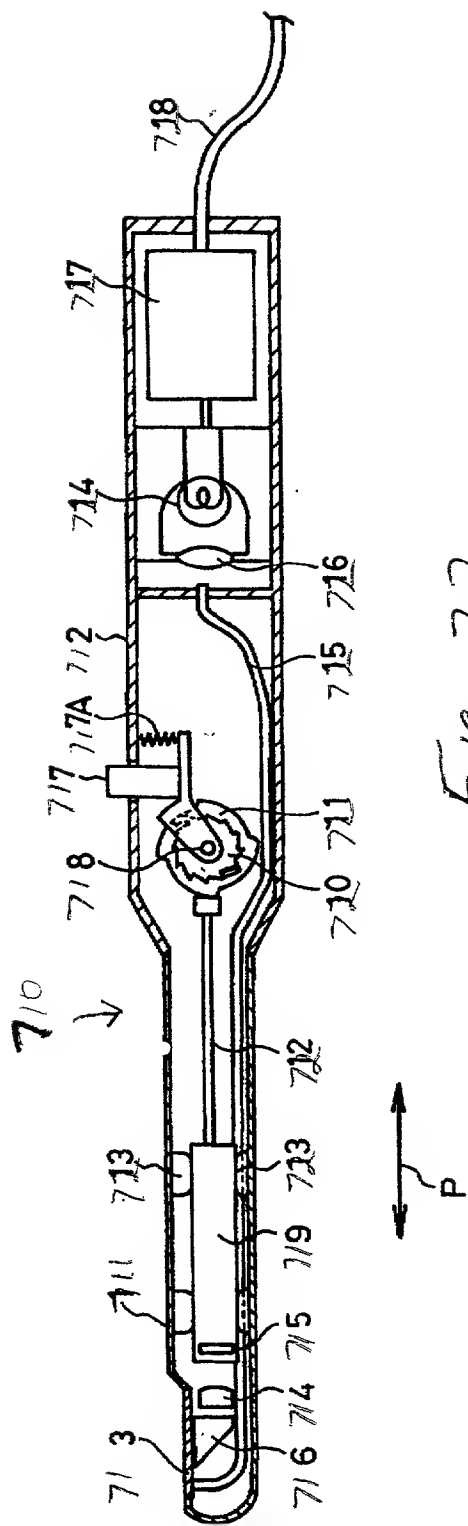


Fig. 22.

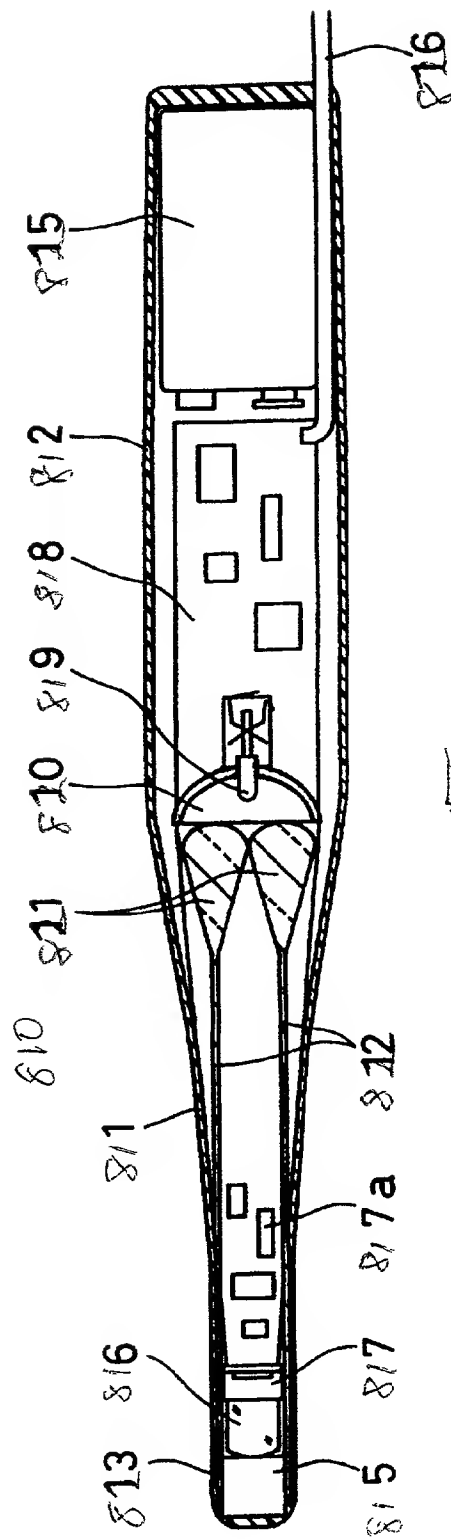


Fig. 23.

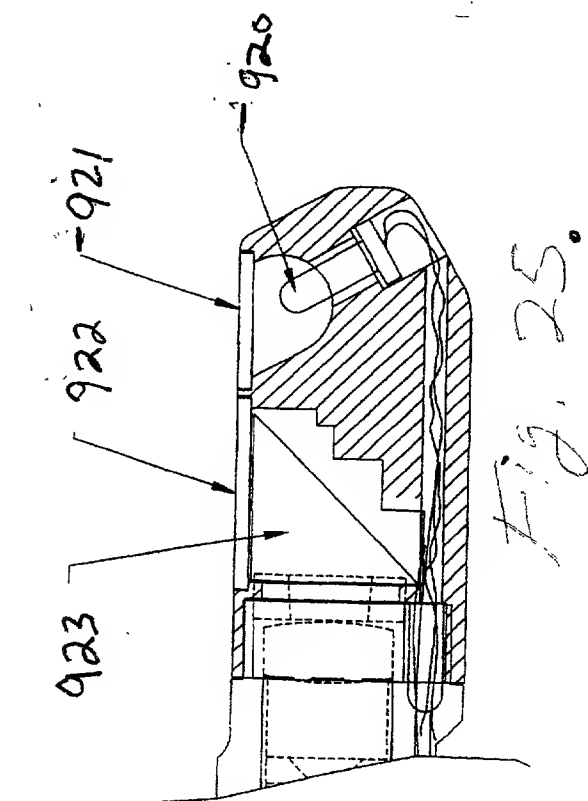
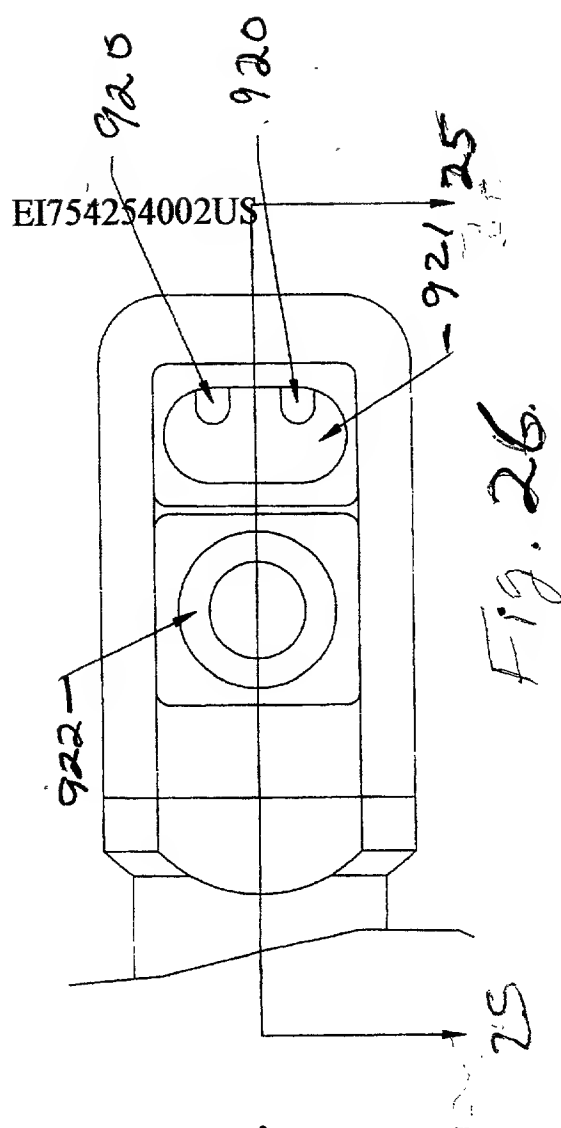
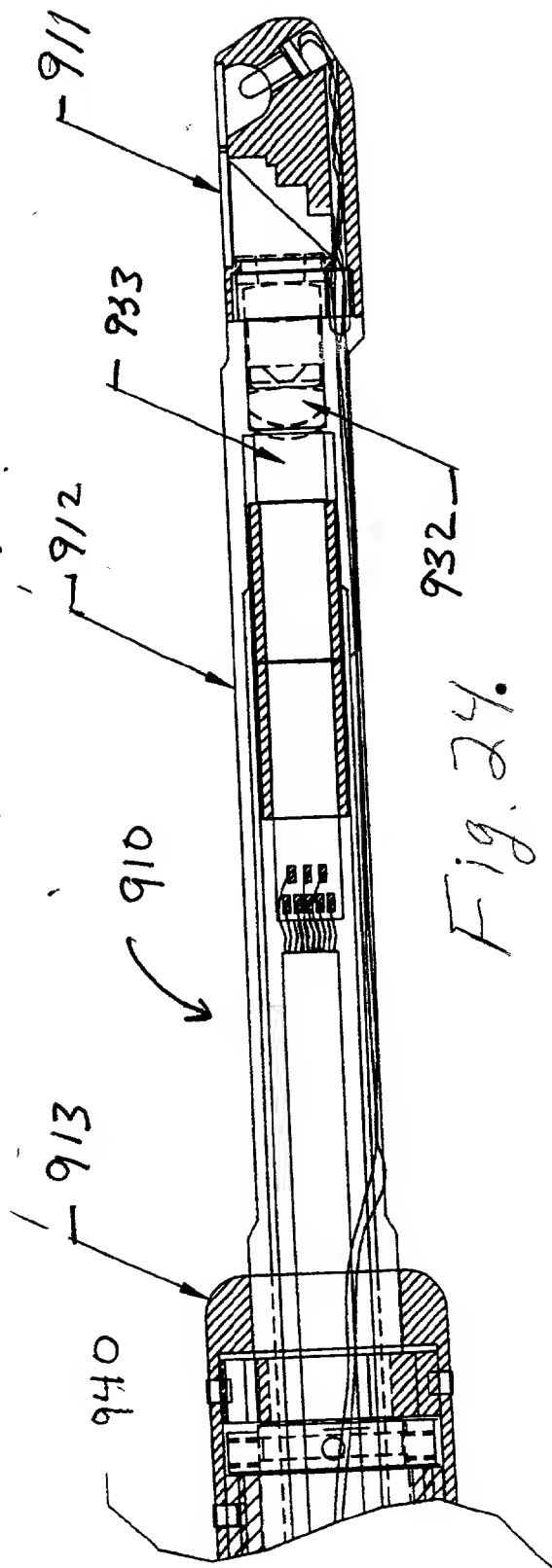


Fig. 28

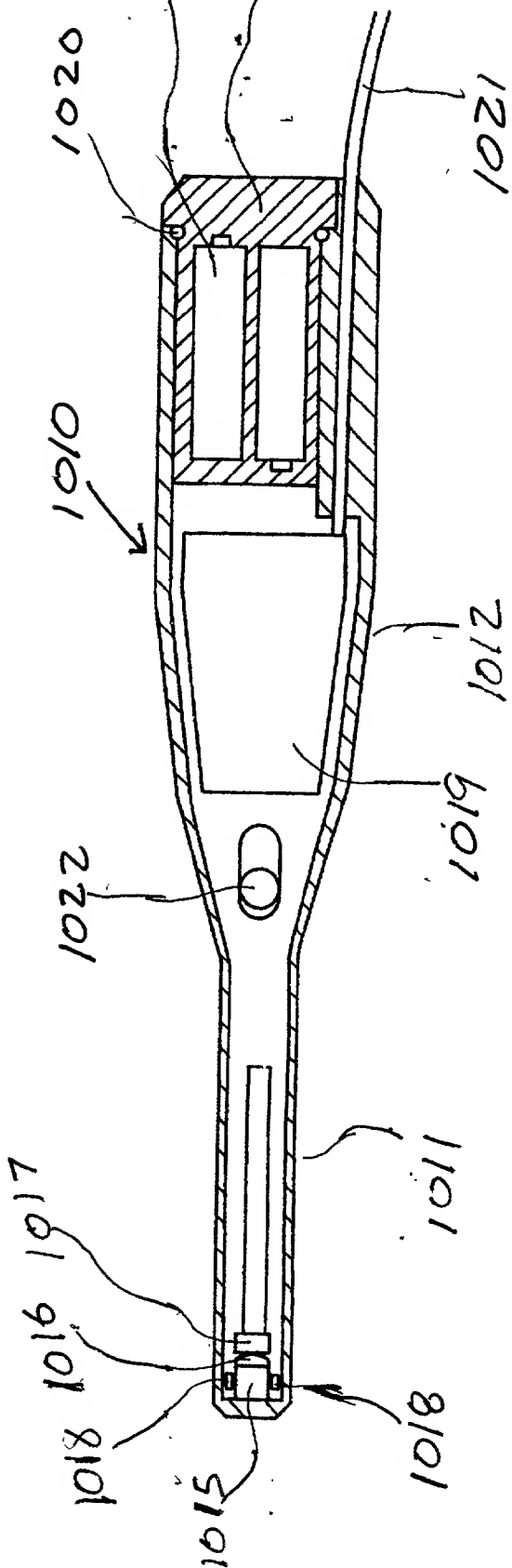
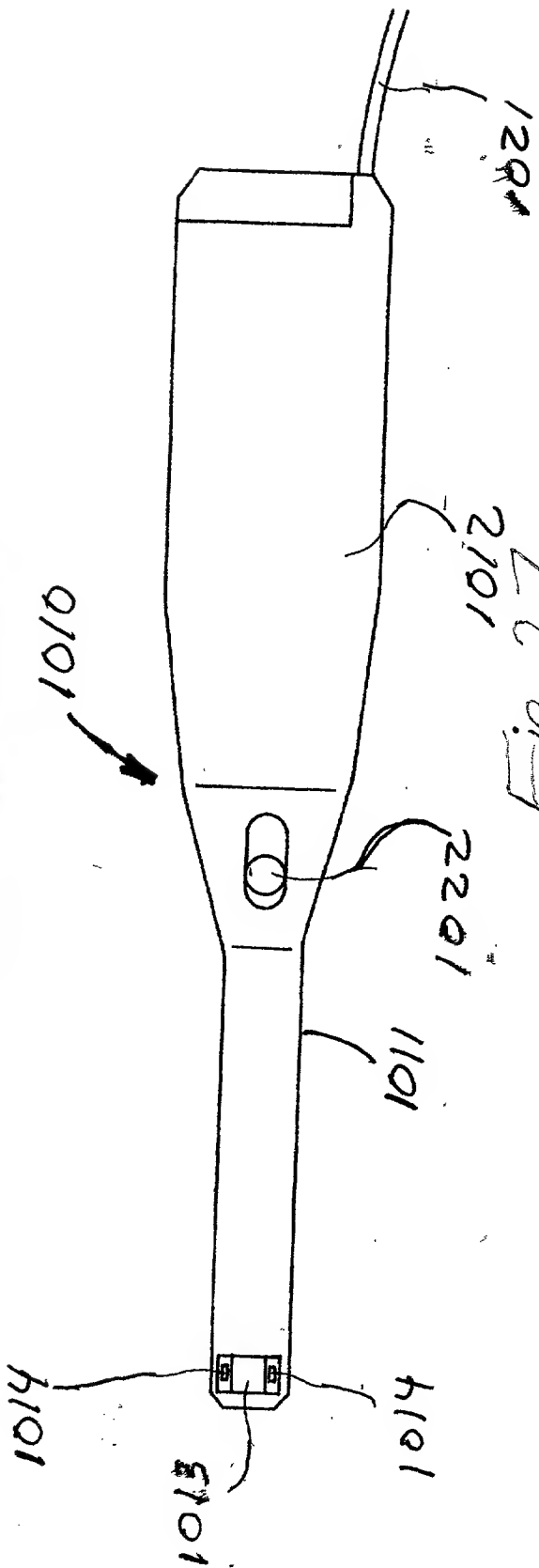
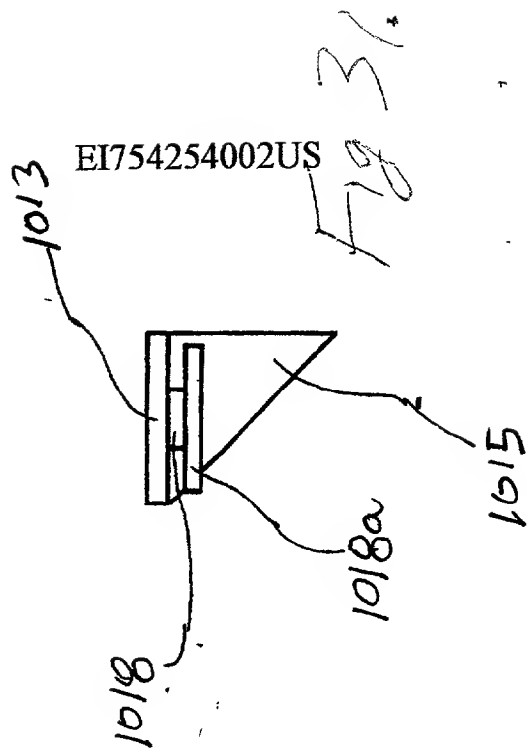
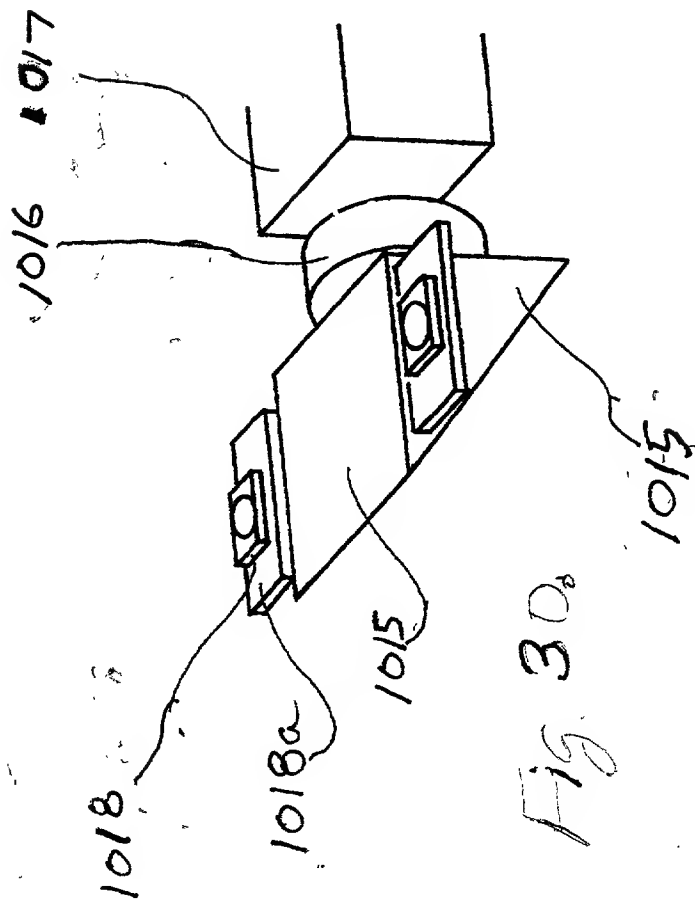
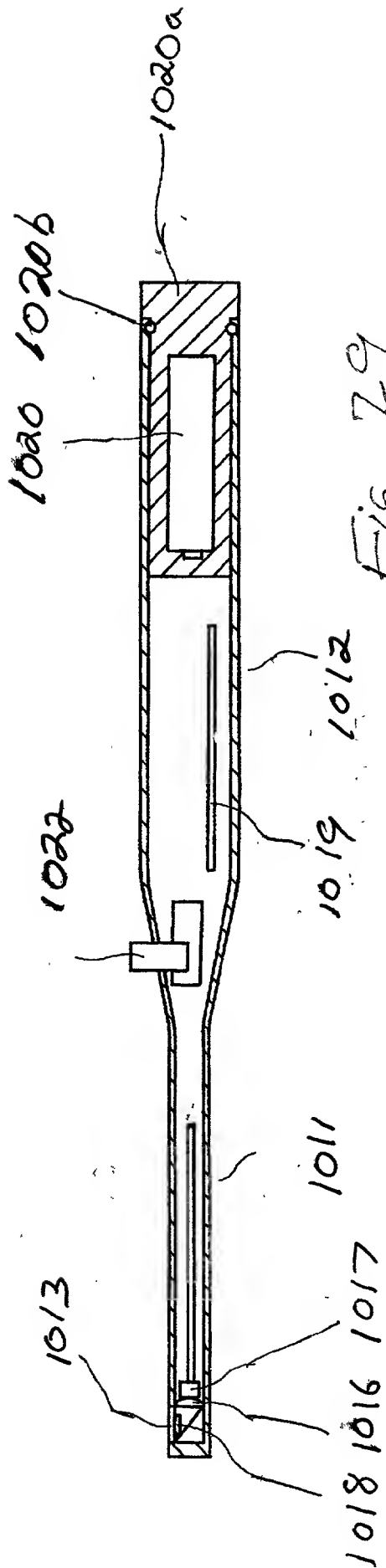


Fig. 27





EI754254002US

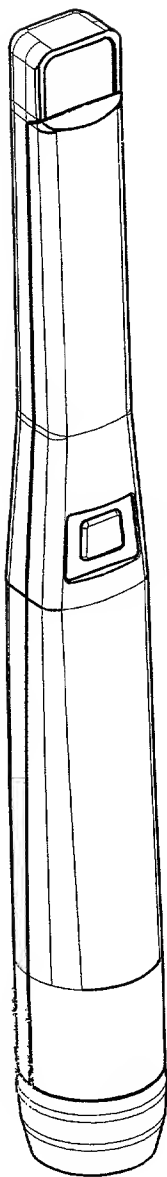


Fig. 32.

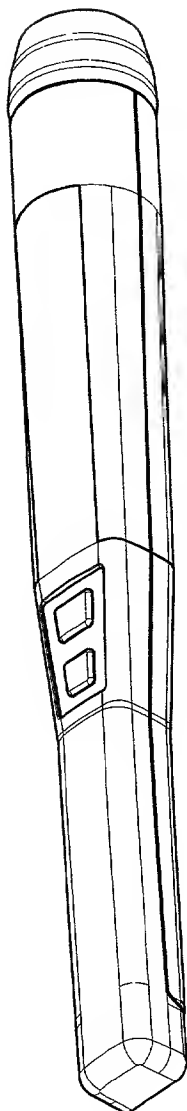


Fig. 33.

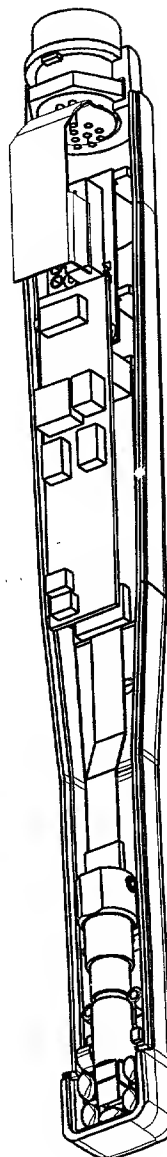


Fig. 34.

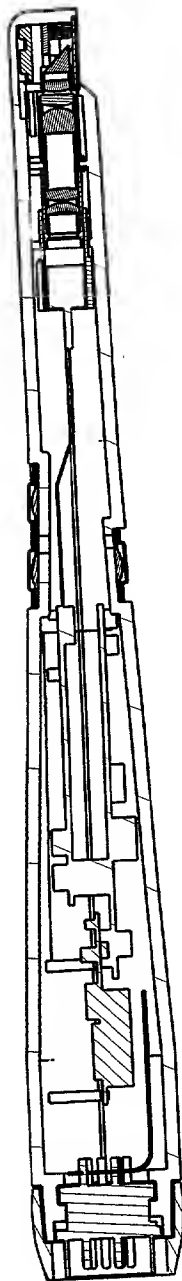


Fig. 35.

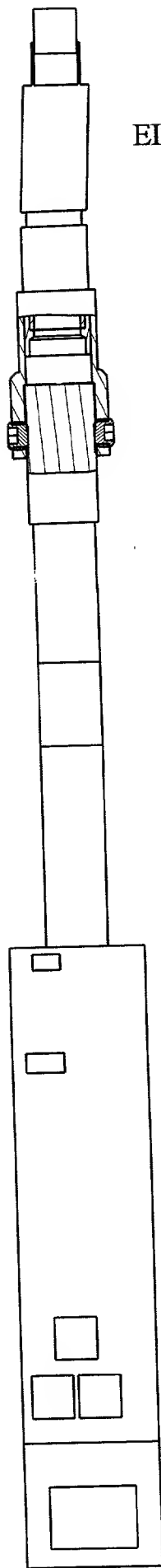


Fig. 36.

EI754254002US

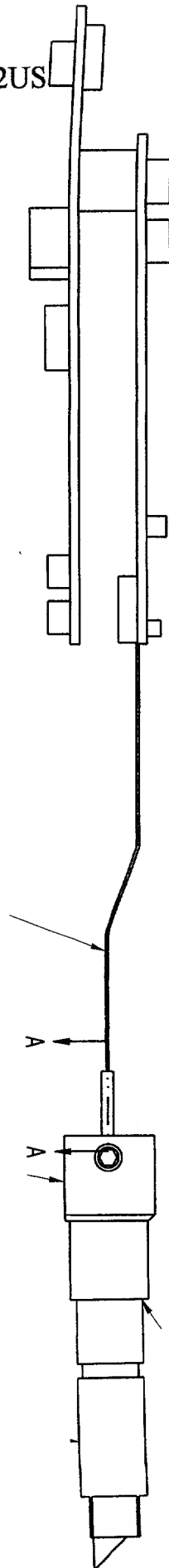


Fig. 37.

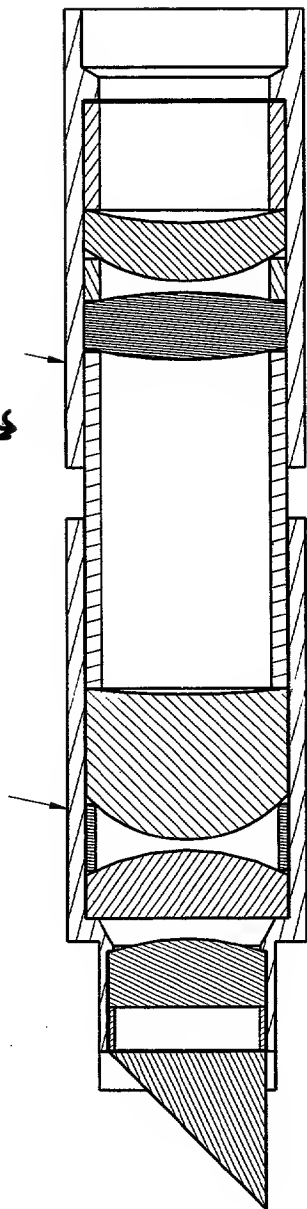


Fig. 38.

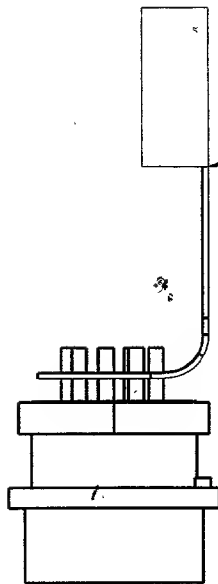


Fig. 43.

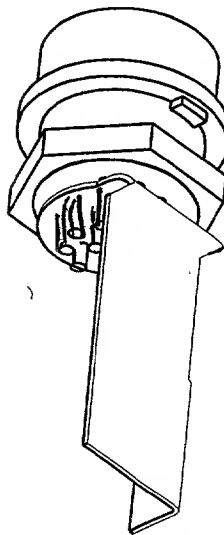


Fig. 42.

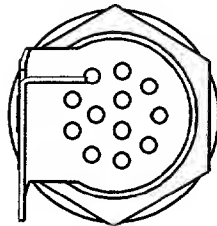


Fig. 41.

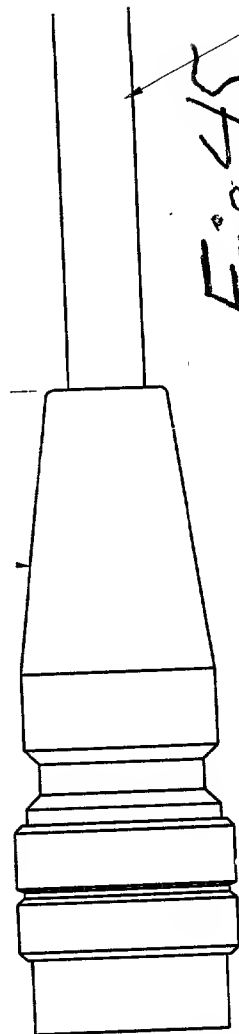


Fig. 44.

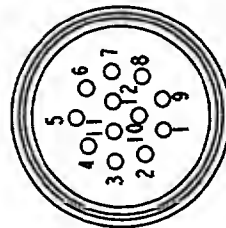
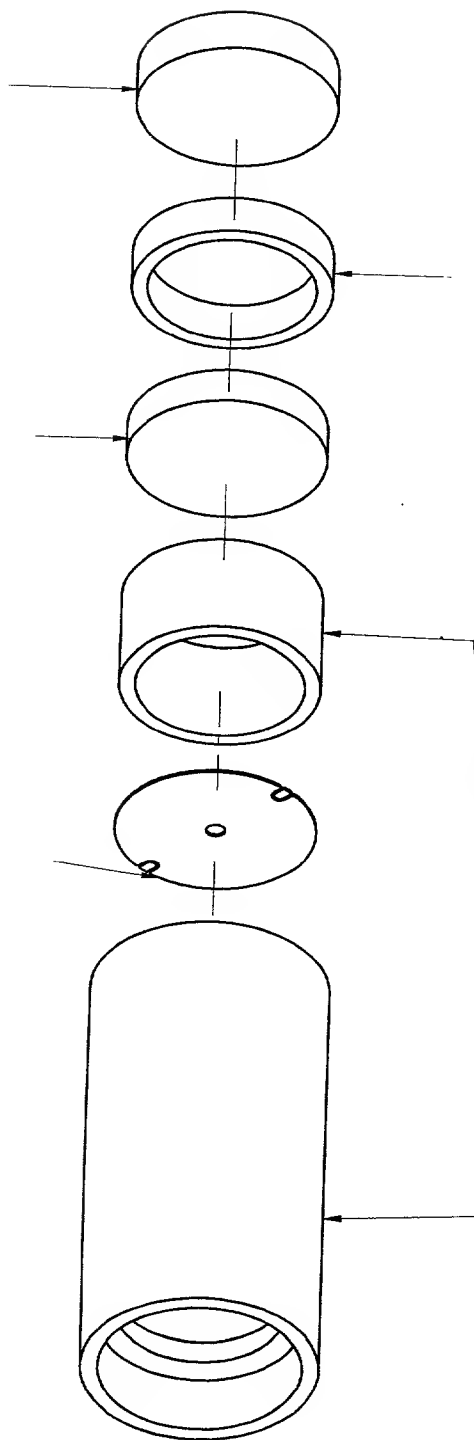
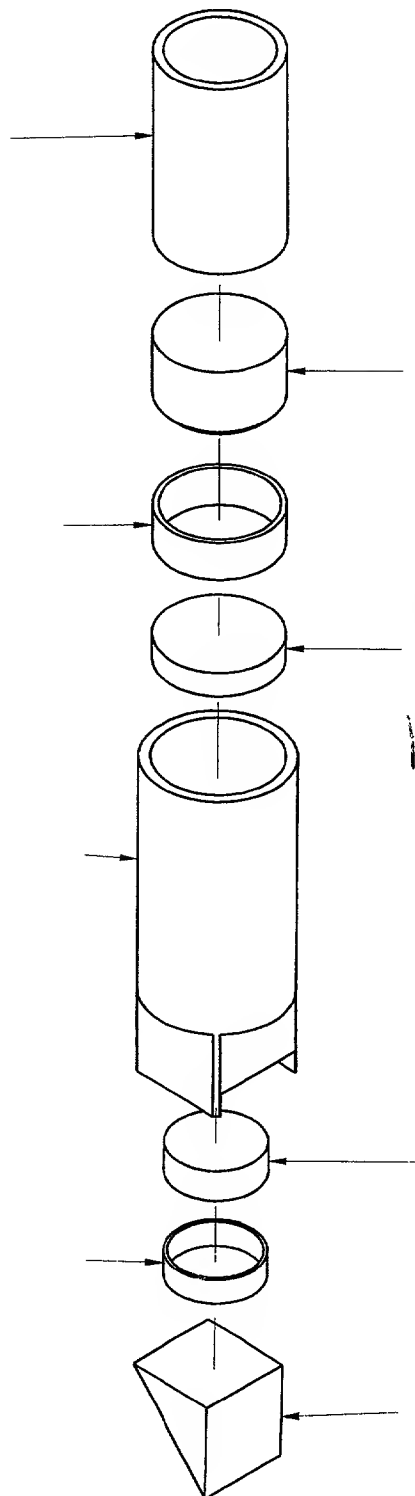


Fig. 45.



0. 25



1540